

京大工 正員 島岡治郎

： 学生員 〇太田秀樹

： 学生員 吉谷進

1. はじめに

粘土が等方圧力をうける場合に示す体積変化は、正規圧縮状態であれば、

$$e = e_0 - \lambda \ln \frac{\sigma'_m}{\sigma'_{m0}} \quad (1)$$

で示される。ただし、 λ は正規圧縮曲線の傾きであり、 (e_0, σ'_{m0}) は初期状態である。また、粘土のせん断変形に伴う体積変化は

$$\frac{\Delta e}{1+e_0} = -\mu \Delta \frac{\tau_{oct}}{\sigma'_m} \quad (2)$$

で与えられる。ただし、 μ はグイレイクンシーの度合と与える係数である。筆者らはここ数年の報告で、粘土のある応力状態から別の応力状態に微細な変化した場合に示す間げま比の微細変化の式次式で与えられることを示して来た。

$$de = -\lambda \frac{d\sigma'_m}{\sigma'_m} + (1+e_0)\mu \left(\frac{\tau_{oct}}{\sigma'_m} \cdot \frac{d\sigma'_m}{\sigma'_m} - \frac{d\tau_{oct}}{\sigma'_m} \right) \quad (3)$$

2. State Surface

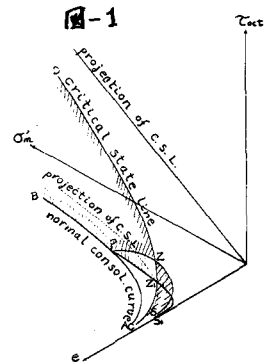
等方圧力 σ'_{m0} で圧縮された粘土の間げま比が e_0 であるとするとき、その時の粘土の状態は τ_{oct} 、 σ'_m 、 e 正軸と可成空間に於いて ($\tau_{oct}=0, \sigma'_m=\sigma'_{m0}, e=e_0$) で示される点によって示される。④式は粘土が τ_{oct} 、 σ'_m 、 e の3つのパラメータでその力学的状態を表現されると仮定した場合に、それらのパラメータの間で成立し得なければならない関係を与えるもので、上述の空間上のある曲面を与える。さて、 $\tau_{oct}=0, \sigma'_m=\sigma'_{m0}, e=e_0$ を境界条件として④式を解くと、

$$e - e_0 + \lambda \ln \frac{\sigma'_m}{\sigma'_{m0}} + (1+e_0)\mu \frac{\tau_{oct}}{\sigma'_m} = 0 \quad (4)$$

となる。④式で与えられる曲面を State Surface とよぶ。 σ'_{m0} という先行圧縮荷重を持つ過圧縮粘土の力学的状態を $\tau_{oct}=0, \sigma'_m=\sigma'_{m0}, e=e_0$ で示すことが出来るならば、

$$e_c = e_0 - k \ln \frac{\sigma'_{mi}}{\sigma'_{m0}} \quad (5)$$

が成立する。ここで k は swelling curve の傾きである。図-1に示されるような空間上では、粘土の力学的状態は1つの点であらわされる。この点を state point とよび、粘土がせん断されることをよって生じる state point の軌跡を state path とよび、これを示す。



圧密荷重を荷つ粘土の initial state point は図-1の PZS₁ を示す swelling curve 上にあ
 る。このように粘土をせん断すると、遂には critical state とよばれる状態に達する。この状態
 は、せん断ひずみがどんどん増加するにつれて τ_{oct} , σ'_m , e が変化しつゝ状態として規定される。図-1
 において CD を示す。P, S₁ の 1 変から出発し E state path は遂には CD 上のどこかに到達
 して止まるわけである。swelling wall 上に $\tau_{oct} = 0$ plane に対して垂直に立った壁を考へ、これを
 swelling wall と名づける。swelling wall は elastic wall とよばれることもあり、図
 -1 では S₁ と PZS を示す。τ-z 方向はハッチを入れている部分である。また図式で与えらる
 state surface は図-1 では AB と CD を含む曲面で与えられるが、PZS₁ 上にその initial state
 point を荷つ粘土の state path はその曲面のうち斜めのハッチを入れている部分、すなわち、
 BPZD と CZS の部分上を動くはならない。ここで、initial state point が swelling
 curve PZ₁S₁ 上にあつた粘土をせん断したとき得られる state path は swelling wall
 上にあつた state surface 上にあつたもののみが、すなわち図-1 のハッチの部分にある
 という仮定を設ける議論をすすめる。

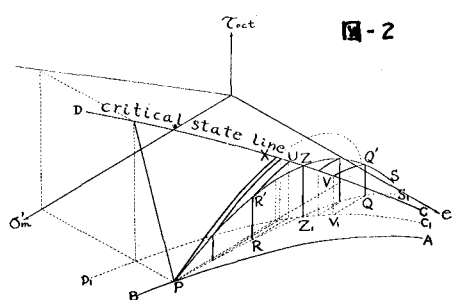


図-2

3. 非排水せん断

粘土を非排水状態でせん断した場合、間ひき比 e はせん
 断中一定に保たれる。initial state point が図-2
 において PRZ₁Q S₁ を示す swelling curve 上の
 どこかにあつた粘土 (initial state point :

$(\tau_{oct} = 0, \sigma'_m = \sigma'_m \leq \sigma'_{m0}, e = e_i \geq e_0)$) の state path は $e = e_i$ plane と図-1 の斜線部分
 との交線として得られる。すなわち正規圧密粘土の state path は図-2 において PX を示す。過
 圧密粘土の場合は過圧密比が増大するに伴つて、RR'U, Z₁Z, QQ'V のように示される。R'U, Q'V
 のような state surface 上の state path は $e = e_i$ とし、図式(6)式に代入するにたとへり

$$\tau_{oct} = - \frac{\sigma'_m}{(1+e_0)\mu} \left\{ \lambda \ln \frac{\sigma'_m}{\sigma'_{m0}} - k \ln \frac{\sigma'_m}{\sigma'_{m0}} \right\} \quad (6)$$

と与えられ、PX は $\sigma'_m = \sigma'_{m0}$ を(6)式に代入するにたとへり、

$$\tau_{oct} = - \frac{\lambda \sigma'_m}{(1+e_0)} \ln \frac{\sigma'_m}{\sigma'_{m0}} \quad (7)$$

と与えられる。R', Z, Q' の高さは(6)式に $\sigma'_m = \sigma'_m$ を代入するにたとへり、

$$\tau_{oct} = - \frac{\lambda - k}{(1+e_0)\mu} \sigma'_m \ln \frac{\sigma'_m}{\sigma'_{m0}} \quad (8)$$

と与えられる。

4. 排水せん断

3軸試験による排水せん断時の応力状態は、 $\tau_{oct} = \sqrt{2} (\sigma'_m - \sigma'_m)$ と示される平面上の点として与
 えられるから、state path はその平面と swelling wall, state surface との交線として、図

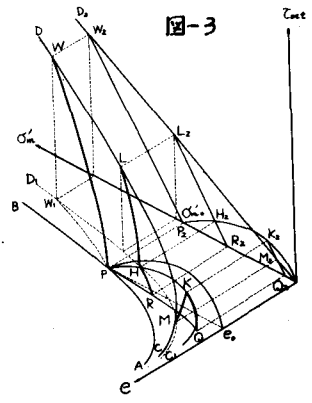


図-3

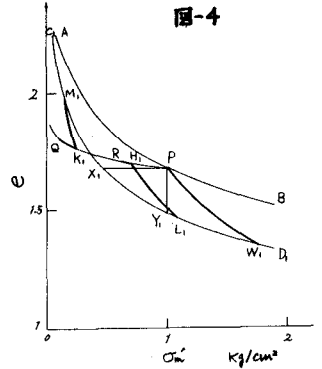
-3に示すPW, RHL, QKMとしと与えらる。図-4はそれらの state pathを $T_{oct} = 0$ plane に投影したものを示す。PWの式は

$$e = e_0 - \lambda \ln \frac{\sigma'_m}{\sigma'_{m0}} - \sqrt{2}(1+e_0)\mu \left(1 - \frac{\sigma'_{m0}}{\sigma'_m}\right) \quad (9)$$

と与えらる。H₁L₁, K₁M₁の式は、

$$e = e_0 - \lambda \ln \frac{\sigma'_m}{\sigma'_{m0}} - \sqrt{2}(1+e_0)\mu \left(1 - \frac{\sigma'_{m0}}{\sigma'_m}\right) \quad (10)$$

と与えらる。QK₁は過圧密粘土のせん断初期の体積減少を示す。



5. σ'_m :一定試験

σ'_m を一定にしてせん断した場合、圧密の項は $\sigma'_m = \sigma'_{m0}$ と(4)式に代入することにより、消去される。

$$T_{oct} = -\frac{\sigma'_{m0}}{(1+e_0)\mu} (e - e_0) \quad (11)$$

(11)式は $\sigma'_m = \sigma'_{m0}$ plane と state surface との交線とし、図-5では、PYと示される。過圧密粘土を σ'_m :一定の条件のもとでせん断すると、

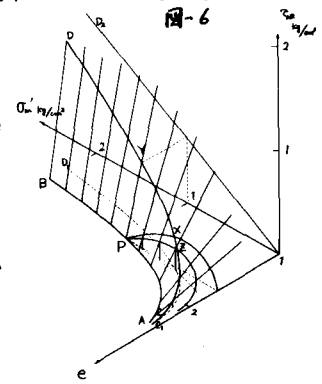
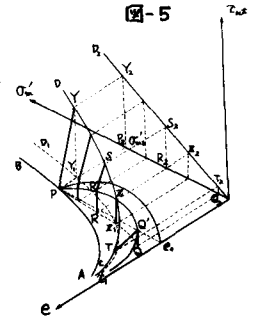
$\sigma'_m = \sigma'_{m0}$ (或 σ'_{m0}) plane と swelling wall, state surface との交線とし、RR'S, Z₁Z, QQT

のような state pathが得らる。R'S, Q'Tは $\sigma'_m = \sigma'_{m0}$ と(4)式に代入することにより、

$$T_{oct} = -\frac{\sigma'_{m0}}{(1+e_0)\mu} (e - e_0 + \lambda \ln \frac{\sigma'_{m0}}{\sigma'_{m0}}) \quad (12)$$

と与えらる。R', Z, Q'の高さは(12)式に $e = e_0$ を代入することにより、(11)式と同じ形と与えらる。

(12)式からわかるように、PY, R'S, Q'Tと $T_{oct} = 0$ plane との交線はいずれも正規圧密曲線ABの上をくす。したがって、state surfaceは図-6に示されるような傾いた直線の集まりで構成されることを理解できる。またe軸もstate surfaceの一部であることがわかる。

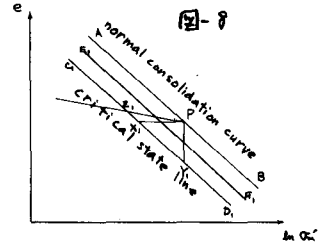
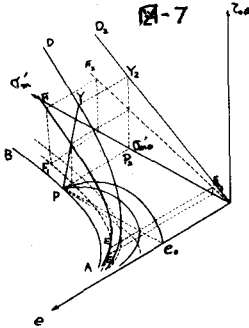


6. T_{oct}/σ'_m :一定試験

T_{oct}/σ'_m を一定に保つた状態でせん断された粘土の state pathは $T_{oct}/\sigma'_m = k$ と(4)式に代入して

$$e = -\lambda \ln \frac{\sigma'_m}{\sigma'_{m0}} + \left\{ e_0 + (1+e_0)\mu k \right\} \quad (13)$$

と与えらる。図-7のAB, EF, CDはこの例であるが、これから $e - \lambda \ln \sigma'_m$ 図上に投影したものは図-8に示されるように正規圧密曲線ABに等しい傾きをもつ。以上のような考察から正規圧密粘土と過圧密粘土のせん断特性の違いは単に初期条件の相違によるものであり、本質的には(11)式、(12)式



基す"の理論によつて説明されるものがあることがわかった。また(14)式、(15)式は砂やシルトに対し
て成立する二要素データをもつたので、以上の議論は砂、シルト、粘土の別なく適用しようと考え
られる。

7. Critical State

critical state,

$$\frac{d\epsilon}{d\sigma_{oct}} = \frac{d\sigma'_m}{d\sigma_{oct}} = \frac{d\tau_{oct}}{d\sigma_{oct}} = 0 \quad (14)$$

で規定される土の極限的状態である。この状態は、もし normality の概念が土に対し成立
すると仮定するならば、 $\tau_{oct} \sim \sigma'_m$ 図上に描かれた yield locus a stationary 状態として規定
されるであろう。そこで、土の yield locus は、 τ_{oct} , σ'_m , ϵ で規定される空間における swelling
wall と平行な曲面群と state surface との交点であると仮定する。したがって、yield locus a
 $\tau_{oct}=0$ plane への投影は、

$$\epsilon = \epsilon_Y - k \ln \frac{\sigma'_m}{\sigma'_{mY}} \quad (15)$$

と与えられる。ここで $(\epsilon_Y, \sigma'_{mY})$ は正規圧縮曲線上の任意の一量と
する。(15)式を(14)式に代入すると、 $\epsilon=0$ plane への yield locus の
投影として、図-9 に図示された二曲線群、

$$\tau_{oct} = -\frac{\lambda-k}{(1+e_0)\mu} \sigma'_m \ln \frac{\sigma'_m}{\sigma'_{mY}} \quad (16)$$

がえられる。(16)式の stationary point として、critical
state と規定すると、

$$\tau_{oct} = \frac{\lambda-k}{(1+e_0)\mu} \sigma'_{mY} \exp(-1), \quad \sigma'_m = \sigma'_{mY} \exp(-1), \quad \epsilon = \epsilon_0 + k + \lambda \ln \frac{\sigma'_m}{\sigma'_{mY}} \quad (17)$$

と与えられる。(17)式より

$$\left(\frac{\tau_{oct}}{\sigma'_m}\right)_{crit.} = \frac{\lambda-k}{(1+e_0)\mu} \quad (18)$$

がえられる。

8. 実験による検証

以上の議論がどの程度実験と一致するかを調べるため、 $L.L.=69.2\%$
 $P.L.=32.5\%$, $\omega=25\%$, 比重 2.64 の粘土を用いた実験を行なった。
図-10 から図-13 に示してある。図-13 は非排水試験と排水試験
で τ_{oct}/σ'_m が等しい点と集線と結んだもので、理論では、両者の集
線は正規圧縮曲線に平行なはずではない。せん断力やせん断ひずみ
の違い、1つの実験で1~2ヶ月かけでせん断し、断面補正は対数ひずみを用いた。
図-9

